4.7 不明点の計算(図 4.1-1 作業フロー⑧)

不明点は現地で直接測量して座標値を修正することができない。「4.6 座標計算・任意座標 区間の点検」において確認した不動点の座標を固定して不明点を境界測量時の観測距離・夾 角により再計算し、公共座標に再現した。

不明点の計算を行うためには、図 4.7-1①で示すように連続する不動点を起点側と終点側で確認し、角度の補正を行う結合多角方式で計算を行う。但し、図 4.7-1②のように不動点が連続しない場合は、林野庁測定規程 89 条に基づいて、起点の角のみで補正を行うことができる。図 4.6-1③の 168 は、末端の点であり、隣接する一方向 167-2 とは点検距離しか確認ができないため、168~166-2 の区間はこの場合に該当する。計算方法の模式図と計算書を図 4.7-2、図 4.7-3 に示す。

なお、不動点が両端にある場合は、2点固定によるヘルマート変換(※11)で計算する方法もある(図 4.7-1③)。図 4.7-1で②の計算では不動点間の角度の補正が行われないため、相似形である③の結果とほぼ等しい値となる。

※11 縮率と平行移動による座標変換。計算前後の形状が相似形になる。

今回の計測範囲では、図 4.7-1 で③に該当する個所はなかったが①・②の状態でも③のヘルマート変換で計算することができる。古い測量成果はコンパスで観測されている場合があり角度の精度が TS ほど良くない。そのため結合多角方式では計算結果で精度が悪くなる場合があるが、ヘルマート変換では測角の影響がないため有効である。また、結合多角方式による計算では、角度・距離から座標の補正を行うため計算時間がかかるが、ヘルマート変換では座標の補正のみで、結合多角計算の 2/3 程度に短縮できるので作業効率も良い。今回の個所であれば結合多角方式による計算に 60 分かかったところ、ヘルマート変換では 40 分となった。

ヘルマート変換による計算方法は、林野庁測定規程には提示されていない方法であるが、 用地測量では一般的に使用されている方法である(公共測量作業規程の準則-解説と運用 第600条の解説)ので、試算を行った。図 4.6-1 中の 164-2・165 について結合多角方式に よる計算書とヘルマート変換での計算書を図 4.7-4、図 4.7-5 に示す。各計算結果の座標差 は数 mm の差で、計算方法による大きな違いは見られなかった(表 4.7-1)。

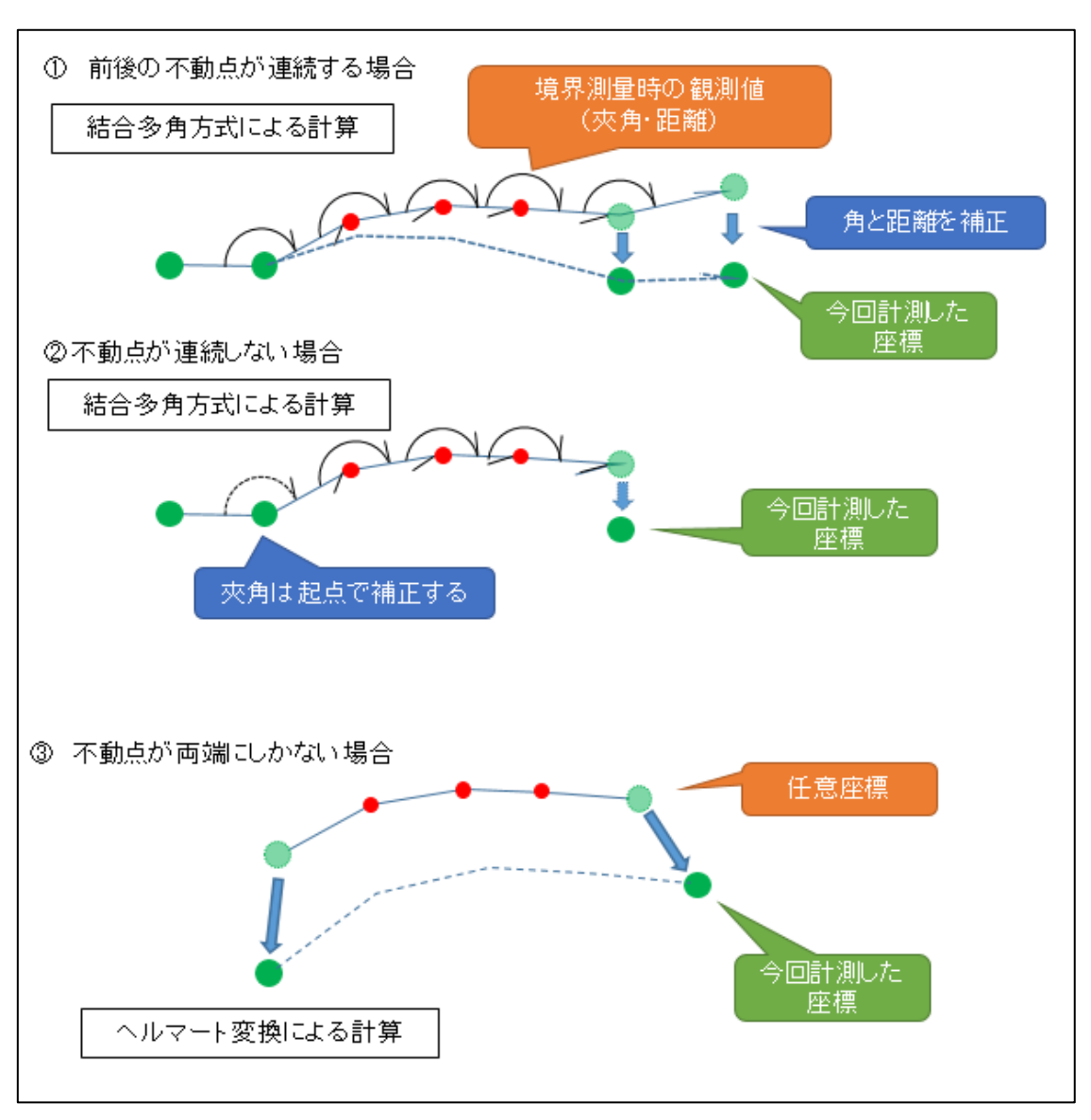


図 4.7-1 境界点(不明点)の計算方法

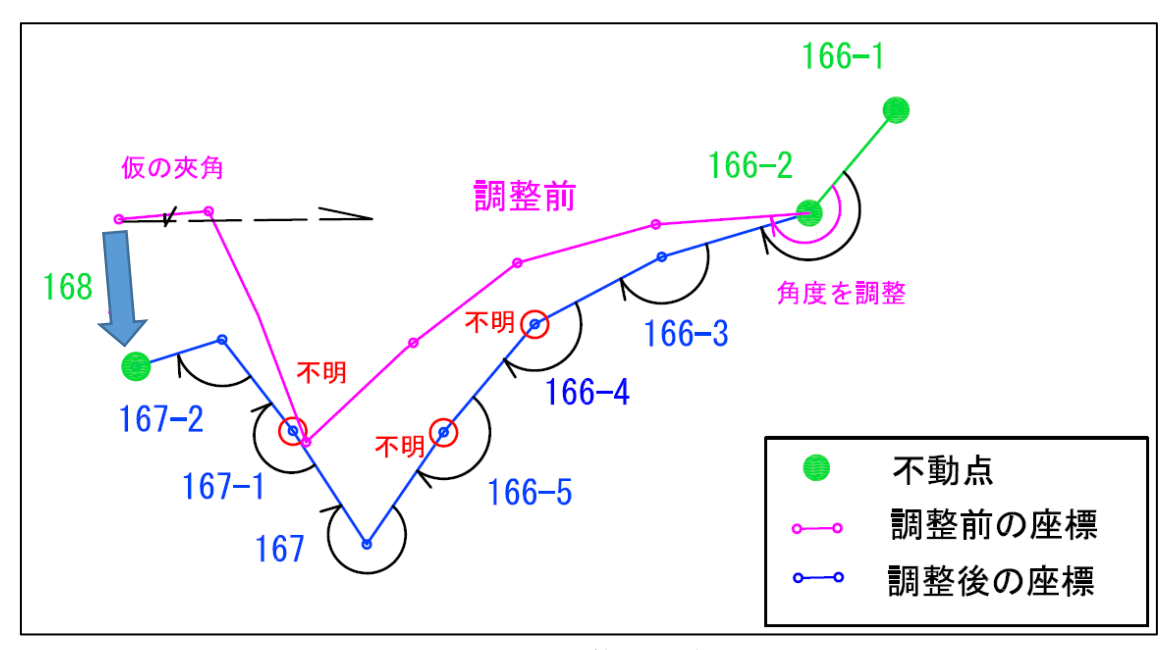


図 4.7-2 166-2~168の計算-結合多角方式の模式図

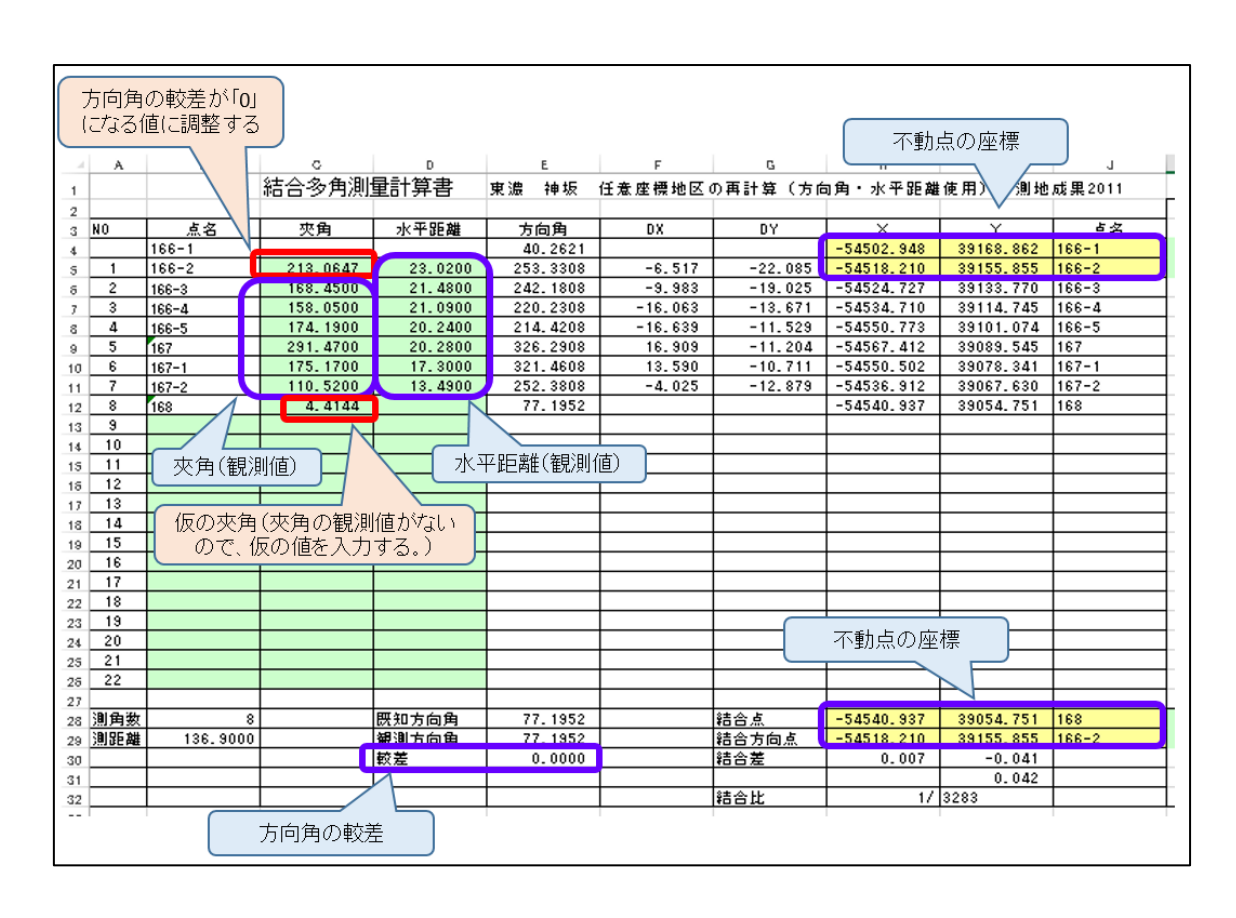


図 4.7-3 166-2~168-結合多角方式による計算

| | | 結合多角測 | 量計算書 | 東濃 神坂 代 | ¥意座標地区の | 再計算(方向角 | ・水平距離使 | 用) 測地成界 | ₹2011 |
|-------------------------------|---------------------------------------|---|------------------------------------|---|---------------------------------------|--|---|--|---|
| | 点名 | 夾角 | 水平距離 | 方向角 | DX | DY | × | Y | 点名 |
| | 164-4 | | | 40.2124 | | | -54532.607 | 39200.882 | 164-4 |
| 1 | 164-3 | 198.02000 | 20.7000 | 238.2408 | -10.842 | -17.637 | -54548.116 | 39187.703 | 164-3 |
| 2 | 164-2 | 156.02000 | 19.6800 | 214.2652 | -16.225 | -11.138 | -54558.958 | 39170.066 | 164-2 |
| 3 | 164-1 | 190.49000 | | 225.1636 | | | -54575.183 | 39158.928 | 164-1 |
| 4 | 164 | | | | | | | | 164 |
| 22 | | | | | | | | | |
| 角数 | 3 | | 既知方向角 | 225.1636 | | 結合点 | -54575.183 | 39158.928 | 164-1 |
| 測距離 | 40.3800 | | 観測方向角 | 225.1424 | | 結合方向点 | -54589.409 | 39144.564 | 164 |
| | | | 較差 | 0.0211 | | 結合差 | 0.008 | -0.012 | |
| | | | | | | | | 0.014 | |
| | | | | | | | | | |
| | - | 結合多角測 | 景計管 書 | 市港 2015 万 | ・ ・ ・ ・ ・ ・ ・ ・ ・ ・ ・ ・ ・ ・ ・ ・ ・ ・ ・ | 結合比 | | 2864 | |
| | - | 結合多角測 | | 11.00 | | 野算(方向角・ | 水平距離使用) | 測地成果201 | |
| 0 | 点名 | 結合多角 測 | 量計算書 | 方向角 | E意座標地区のP | - | 水平距離使用) × | 測地成果201 Y | 点名 |
| 0 | 166-1 | 夾角 | 水平距離 | 方向角 233.3142 | DX | 引算(方向角・ DY | 水平距離使用〉 × -54502.948 | 測地成果201 Y 39168.862 | 点名 166-1 |
| 1 | 166-1 166 | 夾角 274.54000 | 水平距離 41.8800 | 方向角 233.3142 148.2338 | DX -35.851 | 野計算(方向角・ DY 21.952 | 水平距離使用) × -54502.948 -54490.973 | 測地成果201 Y 39168-862 39185-062 | 点名 166-1 166 |
| 1 2 | 166-1 166 165 | 夾角 274.54000 257.20000 | 水平距離 | 方向角 233.3142 148.2336 225.4130 | DX | 引算(方向角・ DY | 水平距離使用) × -54502.948 -54490.973 -54528.824 | 測地成果201 Y 39168.862 39185.062 39207.014 | 点名 166-1 166 165 |
| 1 2 3 | 166-1 166 165 164-4 | 夾角 274.54000 | 水平距離 41.8800 | 方向角 233.3142 148.2338 | DX -35.851 | 野計算(方向角・ DY 21.952 | 水平距離使用) × -54502.948 -54490.973 | 測地成果201 Y 39168-862 39185-062 | 点名 166-1 188 185 184-4 |
| 1 2 3 4 | 166-1 166 165 | 夾角 274.54000 257.20000 | 水平距離 41.8800 | 方向角 233.3142 148.2336 225.4130 | DX -35.851 | 野計算(方向角・ DY 21.952 | 水平距離使用) × -54502.948 -54490.973 -54528.824 | 測地成果201 Y 39168.862 39185.062 39207.014 | 点名 166-1 166 165 |
| 1 2 3 | 166-1 166 165 164-4 | 夾角 274.54000 257.20000 | 水平距離 41.8800 | 方向角 233.3142 148.2336 225.4130 | DX -35.851 | 野計算(方向角・ DY 21.952 | 水平距離使用) × -54502.948 -54490.973 -54528.824 | 測地成果201 Y 39168.862 39185.062 39207.014 | 点名 166-1 188 185 184-4 |
| 1 2 3 4 22 則角数 | 166-1 168 165 164-4 164-3 | 夾角 274.54000 257.20000 174.42000 | 水平距離 41.8800 8.5700 既知方向角 | 方向角 233.3142 148.2338 225.4130 220.2124 | DX -35.851 | 野計算(方向角・ DY 21.852 -8.132 結合点 | 水平距離使用) × -54502.948 -54490.973 -54528.624 -54532.807 | 測地成果201 Y 39188.862 39185.062 39207.014 39200.882 | 点名 166-1 166 165 164-4 164-3 |
| 1 2 3 4 22 則角数 | 166-1 168 165 164-4 164-3 | 夾角 274.54000 257.20000 174.42000 | 水平距離 41.8800 8.5700 既知方向角 観測方向角 | 方向角 233.3142 148.2338 225.4130 220.2124 220.2124 | DX -35.851 | 野計算(方向角・ DY 21.852 -8.132 結合点 結合点 | 水平距離使用) × -54502.948 -54490.973 -54528.624 -54532.807 -54532.807 -54548.118 | 測地成果201 Y 39188.882 39185.062 39207.014 39200.882 38200.882 39187.703 | 点名 168-1 168 165 164-4 184-3 |
| 1 2 3 4 22 | 166-1 168 165 164-4 164-3 | 夾角 274.54000 257.20000 174.42000 | 水平距離 41.8800 8.5700 既知方向角 | 方向角 233.3142 148.2338 225.4130 220.2124 | DX -35.851 | 野計算(方向角・ DY 21.852 -8.132 結合点 | 水平距離使用) × -54502.948 -54490.973 -54528.624 -54532.807 | 測地成果201 | 点名 166-1 166 165 164-4 164-3 |
| 3 | 166-1 168 165 164-4 164-3 | 夾角 274.54000 257.20000 174.42000 | 水平距離 41.8800 8.5700 既知方向角 観測方向角 | 方向角 233.3142 148.2338 225.4130 220.2124 220.2124 | DX -35.851 | 野計算(方向角・ DY 21.852 -8.132 結合点 結合点 | 水平距離使用) × -54502.948 -54502.948 -54528.624 -54532.807 -54532.807 -54548.118 0.020 | 測地成果201 Y 39188.882 39185.062 39207.014 39200.882 38200.882 39187.703 | 点名 186-1 186 185 184-4 184-3 |

図 4.7-4 結合多角計算書

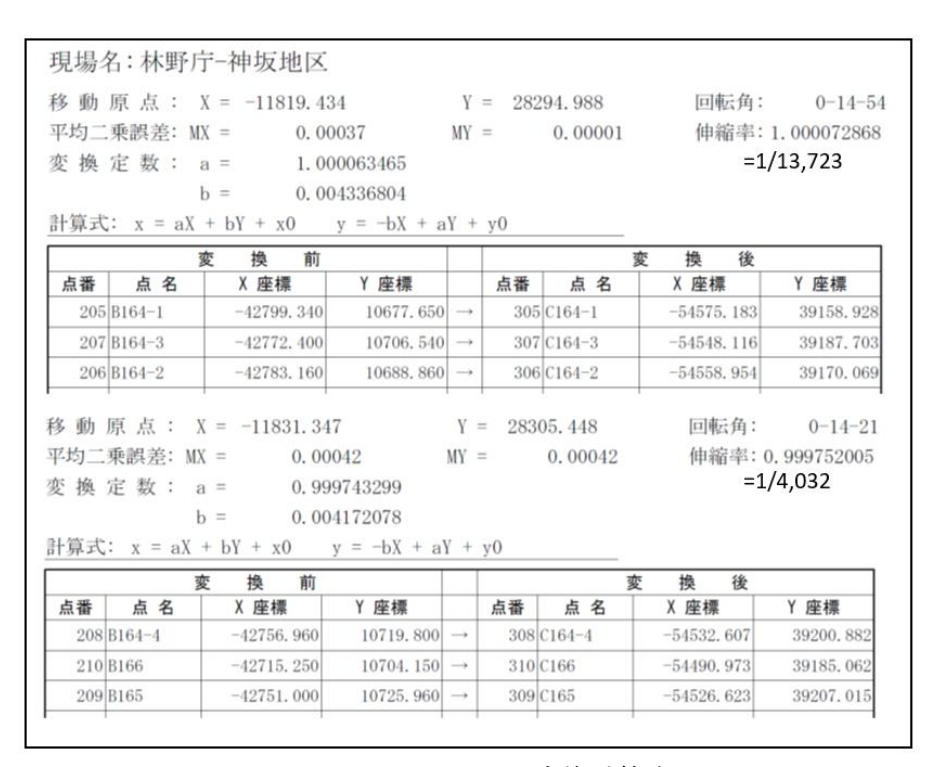


図 4.7-5 ヘルマート変換計算書

表 4.7-1 ヘルマート変換と結合多角計算の較差

| 上夕 | ヘル | マート変換に | こよる | Ý | 座標較差 | | | |
|--------|------------|-----------|----------|------------|-----------|----------|-------|-------|
| 点名 | x 1 | y1 | 伸縮率(※12) | ×2 | y2 | 結合比(※13) | dx | dy |
| C164-2 | -54558.954 | 39170.069 | 1/13723 | -54558.958 | 39170.066 | 1/2864 | 0.004 | 0.003 |
| C165 | -54526.623 | 39207.015 | 1/4032 | -54526.624 | 39207.014 | 1/2461 | 0.001 | 0.001 |

※12 伸縮率:ヘルマート変換における変換前後の図形の大きさの比率

※13 結合比:結合多角計算における、結合差と観測距離(路線長)の比率

4.8 公共座標区間の点検と座標計算(図 4.1-1 作業フロー9⑩)

任意座標区間とつながる公共座標区間(北側・南側)について、中部森林管理局のデータである日本測地系の座標値は、世界測地系への変換を行っている。この座標値を今回のGNSSによる計測値と、比較・点検を行った(図 4.8-1)。

北側の地区、南側の地区は今回計測した座標値 0.6~0.8 m 程の位置誤差があった。これは、地籍測量:山地(乙2)の許容範囲(公差)1.5 m を満たす値である。移動ベクトルの方向は、北側で北西、南側では南西方向であり、結果的に南北で約0.6 m の距離の差が生じている。北側地区と南側地区は任意座標区間を挟んで異なる測系であり、それぞれの測系での計測誤差で生じた較差が、今回の計測で生じた約0.6 m の主な原因と考えられる。(誤差の原因として、今回の計測における誤差が考えられるが、2級図根点の標準偏差9 mm、4級図根点の結合差は23 mmであり、誤差の原因としては小さいと考えられる。)

北側地区の3点は、点間距離は1/1000以内だが夾角は3分を超過している。較差のベクトルの方向はほぼ同じであるが、境界点168のみが0.08 m 程短いため夾角に影響が出ている (ベクトルの差0.084 m・点間距離26.591 m→角度差10'52"になり夾角の差11'00"とほぼ同じ値になる)。このことから境界点169、169-1を不動点とした。

南側地区は夾角の点検はできないが、較差のベクトルは 2 点ともほぼ同じ方向で点間距離は 1/1000 以内であることから、境界点 160、159 を不動点とした。

試みに、境界測量の計測時の角度と距離を使い、中部森林管理局の公共座標を既知点とする結合多角方式で再計算を行ったが、結合比 1/110 結合差 3.736mと許容値を大幅に超過した(図 4.8-2、図 4.8-3)。また、今回 GNSS で計測した座標を固定点として同様の計算を試みたが、結合比 1/152 結合差 3.990mとなった(図 4.8-4)。測系の境での観測値が影響しているものと考えられる。

境界点の不明点個所で直接距離・角度が計測できていない個所がある場合は、結合多角方式による再計算よりもヘルマート変換による計算が有効である。従って、北側と南側の不動点 2 点を固定したヘルマート変換で公共座標(世界測地系 測地成果 2011) 求めることとした(図 4.8-5、図 4.8-6)。計算結果の伸縮率: 0.99795(1/488)であった。

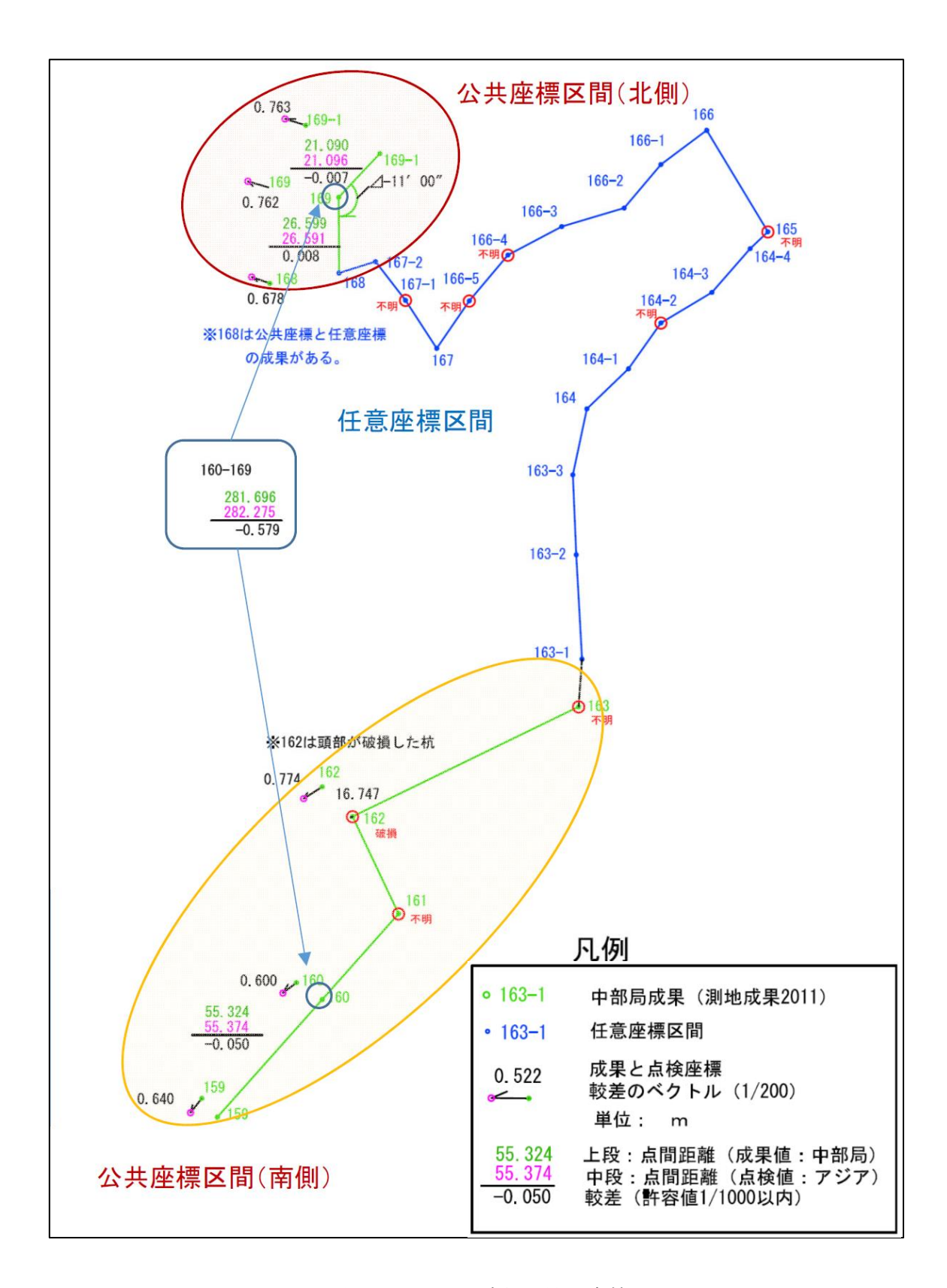


図 4.8-1 公共座標区間の点検

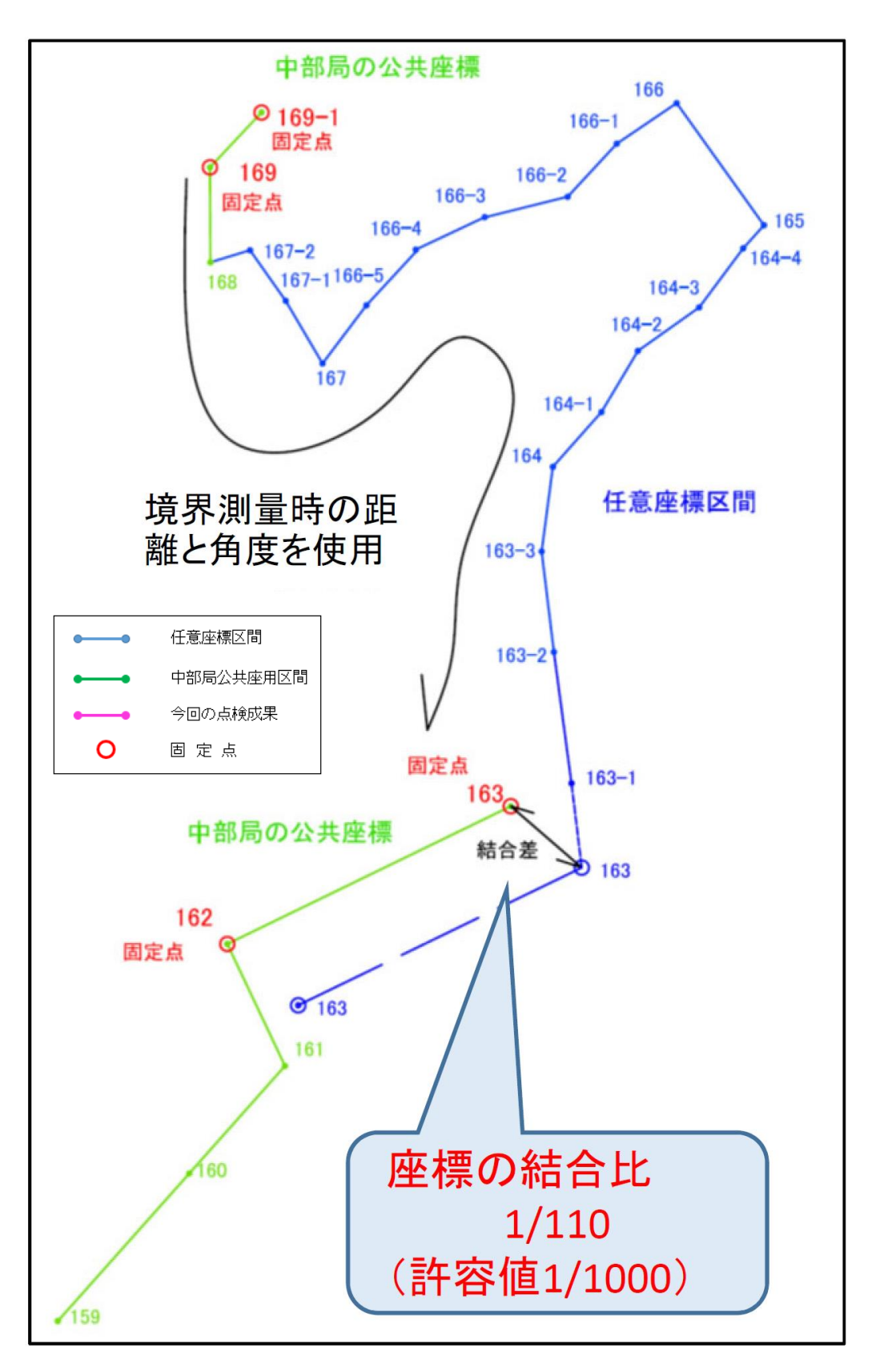


図 4.8-2 任意座標区間の公共座標(中部局)による再計算(試算)

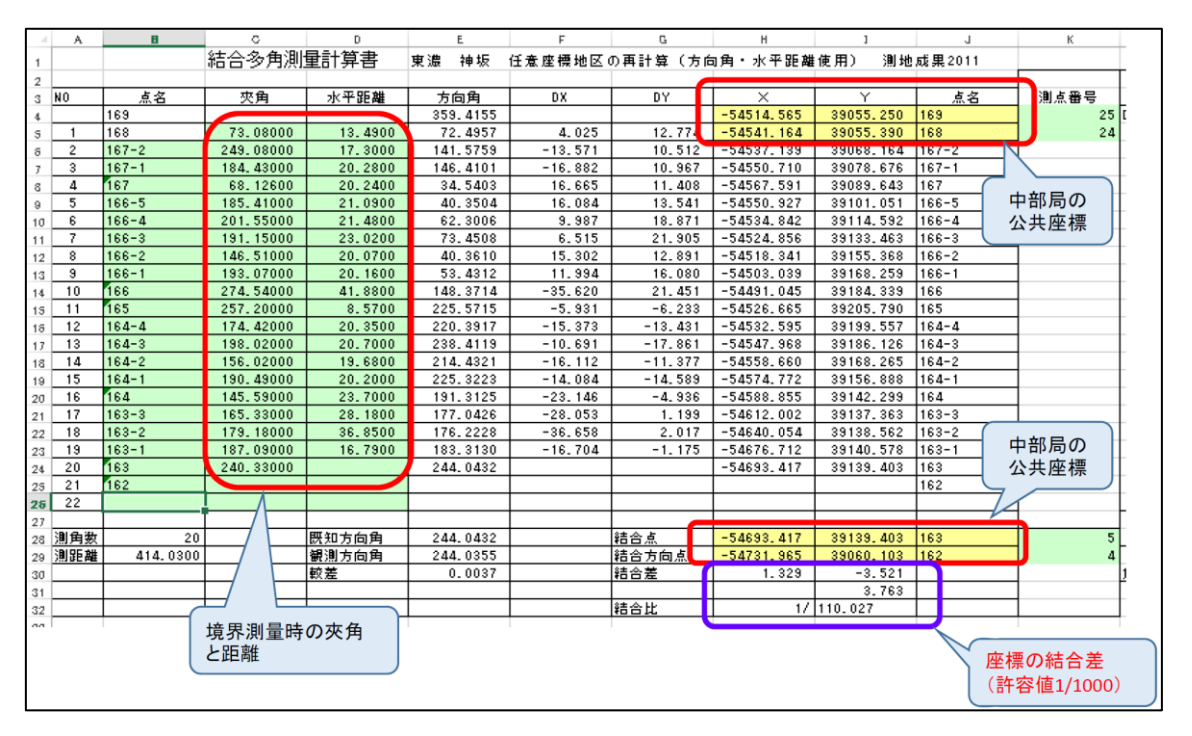


図 4.8-3 結合多角測量の計算書